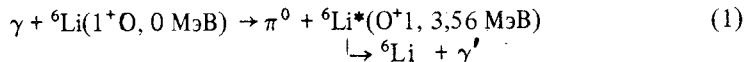


**ПРЯМОЕ ИЗМЕРЕНИЕ НЕУПРУГОГО ФОТООБРАЗОВАНИЯ
 π^0 -МЕЗОНОВ НА ЛЕГКИХ ЯДРАХ**

Г.А.Науменко, Е.В.Репенко, В.Н.Стибунов,
 В.А.Трясучев

Представлены результаты измерения выходов реакции фотообразования π^0 -мезонов на ядре ${}^6\text{Li}$ с возбуждением уровня ядра $0^+ 1$ (3,56 МэВ) и на ядре ${}^{12}\text{C}$ с возбуждением уровня $2^+ 0$ (4,44 МэВ).

Известно, что только нейтральные мезоны могут рождаться как некогерентно, так и когерентно на всех нуклонах ядра. В некогерентном (или неупругом) фотообразовании нейтральных пионов представляют большой интерес парциальные реакции ${}^{1-4}$. Экспериментальное выделение квантовых состояний конечного ядра в подобных реакциях позволяет получить более детальную информацию об однонуклонных амплитудах фоторождения пионов 1,3 , поведении Δ -изобары в ядре 2 и переходных ядерных плотностях, в частности, в амплитуду парциальной реакции



дают вклады только изоскалярные части однонуклонной амплитуды 1 . Величины изоскалярных мультиполей определены из $\gamma N \rightarrow \pi N$ экспериментов весьма ненадежно, так как вклад их в сечение элементарных процессов мал 2 . В этой ситуации измерение сечения реакции (1) существенно дополнит информацию о величинах основных изоскалярных мультиполей.

Для резонансной области энергий падающих гамма-квантов во многих экспериментах измерялись только инклузивные выходы π^0 -мезонов на ядрах. В последнее время проведены эксперименты, в которых сделаны попытки выделения когерентного фоторождения пионов или других каналов реакции ${}^{5-8}$. Метод "активной" мишени 5 , регистрация иных частиц 6 и другие использованные методики не обеспечили надежного выделения каналов реакции. Возможно поэтому результаты этих экспериментов не удалось полностью объяснить в рамках апробированных теоретических моделей 5,7 .

Ниже приводятся предварительные измерения выходов реакции неупрого образования π^0 -мезонов на ядрах лития и углерода. Фотоны от распада нейтрального пиона и фотоны от радиационного перехода возбужденного ядра регистрировались на совпадении. Применение этой методики сдерживается трудностями, связанными с выделением редких двухступенчатых процессов и с обеспечением высокого энергетического разрешения спектрометров в условиях работы на современных ускорителях с большой скважностью 8,9 . Эксперимент проведен на пучке тормозного излучения синхротрона "Сириус", коэффициент заполнения которого 10%. Тормозное излучение с максимальной энергией $E_0 = 500$ МэВ формировалось коллиматорами, очищалось и проходило через исследуемую мишень к квантомуетру (рис. 1). Фотоны высокой энергии от распада пионов регистрировались черенковским спектрометром полного поглощения, который размещался в горизонтальной плоскости, охватывая телесный угол 50 мср и имел характеристики: энергетическое разрешение – 30%, временное разрешение – 2 нс, нижний порог регистрации – 80 МэВ. Ядерные фотоны и жесткие фотоны от распада пионов регистрировали шестью спектрометрами большого объема, размещенными под азимутальными углами $\geq 130^\circ$ в различных плоскостях. Спектрометры окружены мощной свинцово-бетонной защитой. Общий "триггер" установки вырабатывался при регистрации быстрых совпадений импульсов черенковского и одного или нескольких сцинтиляционных спектрометров. Импульсом "триггера" инициировалась работа ряда устройств, в которых

осуществлялось: преобразование в цифровую аналоговой и временной информации, поступающей от детекторов, сортировка и отбор информации. Затем записывалось в память ЭВМ: "конфигурация триггера", заряды и временное положение сигналов спектрометров. С помощью управляемых светодиодов проводился автоматический контроль усиления спектрометров одновременно с набором статистики.

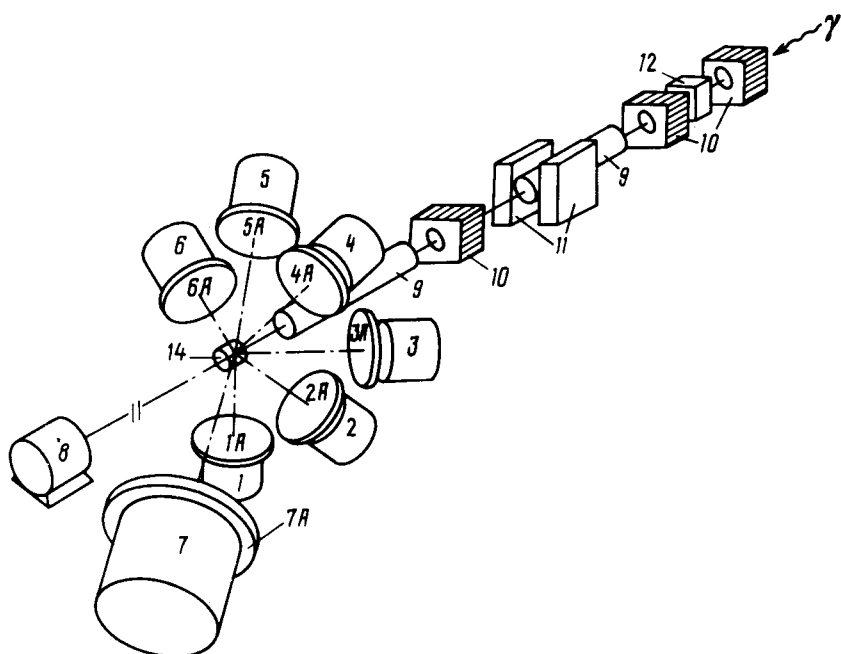


Рис. 1. Размещение аппаратуры: 1–6 – сцинтилляционные спектрометры, 14–74 – счетчики антисовпадений, 7 – черенковский спектрометр, 8 – квантотметр, 9 – вакуумные камеры, 10 – коллиматоры, 11 – очищающий электромагнит, 12 – "ужеститель" спектра

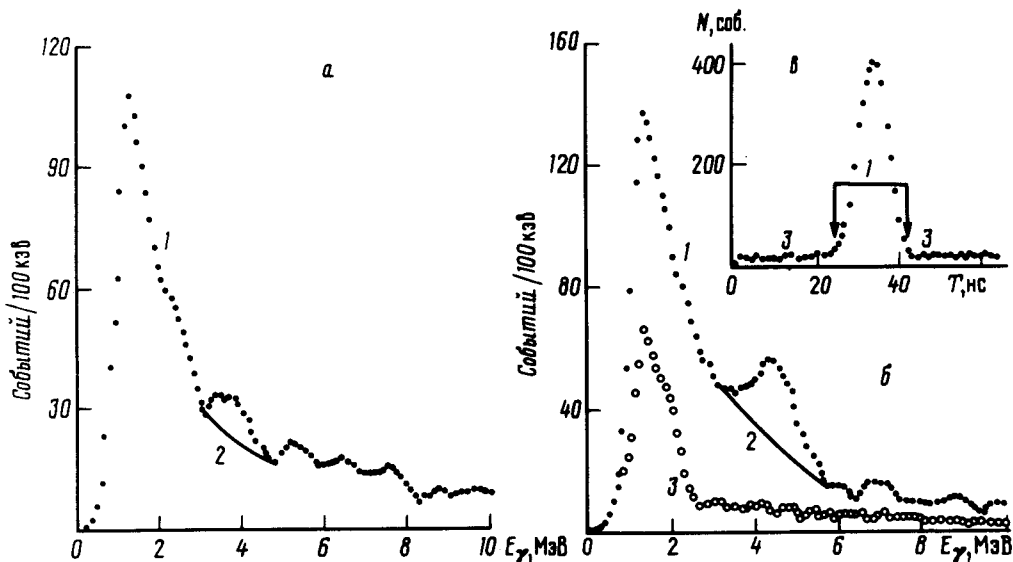


Рис. 2. Фрагменты энергетических спектров фотонов, зарегистрированных спектрометром 3, включенным на совпадении с черенковским спектрометром. а) Спектры фотонов для ядра ${}^6\text{Li}$: 1 – спектр фотонов для коррелированных во времени событий; 2 – аппроксимация непрерывного распределения в спектре 1. б) Спектры фотонов для ядра ${}^{12}\text{C}$: 1, 2 – то же, что и для а; 3 – спектр для коррелированных во времени событий

Процедура измерений состояла в регистрации зависимости выхода ядерных гамма-квантов от среднего угла вылета π^0 -мезонов. На рис. 2 приведены низкоэнергетические фрагменты гамма-спектров, полученных для сцинтилляционного спектрометра З при среднем угле вылета пионов 40° . В энергетических спектрах γ -квантов, которые построены из событий, попадающих в пределы временного корреляционного пика (рис. 2в), отчетливо наблюдаются следующие пики. На ядро ${}^6\text{Li}$ пик для $E_\gamma = 3,6$ МэВ, который соответствует радиационному переходу ядра с возбужденного уровня O^+ (3,56 МэВ) на основной, и на ${}^{12}\text{C}$ пик для $E_\gamma = 4,4$ МэВ соответствующий переходу ядра с уровня 2^+ (4,44 МэВ) на основной. В этих спектрах выделялась площадь под пиками, из которой определялся дифференциальный выход парциальной реакции (при условии изотропности излучения при ядерном переходе) по формуле:

$$Y_3(\theta_C) = \sum_i \frac{4\pi N_\gamma^i}{n \epsilon_i \eta_i \Omega_C \Omega_\gamma^i}, \quad (2)$$

где N_γ^i – площадь под пиком в спектре для i -го спектрометра, n – число ядер в мишени, ϵ_i – фотоэффективность спектрометра, η_i – поправки на поглощение фотонов в мишени и материалах на пути к спектрометру, Ω_C и Ω_γ^i – телесные углы черенковского и сцинтилляционного спектрометров, $\theta = u/E_0$ – число эквивалентных фотонов, u – полная энергия тормозного пучка. Используя известную связь числа фотонов от распада π^0 -мезонов с сечением их фотообразования 10 , теоретический выход парциальной реакции рассчитывался по формуле:

$$Y_T(\theta_C) = \int_{E_n}^{E_0} \int_0^\pi \frac{d\sigma(\theta_\pi, k)}{d\Omega} \frac{F(k)}{k} W(\theta_\pi, \theta_C) d\theta_\pi dk, \quad (3)$$

где $d\sigma/d\Omega$ – сечение реакции (1) в зависимости от угла вылета пиона θ_π и энергии налетающего фотона k , $F(k)/k$ – тормозной γ -спектр, E_n – пороговая энергия реакции (1), $W(\theta_\pi, \theta_C)$ – функция углового разрешения установки. Эта функция рассчитывалась с учетом однозначной связи для реакции (1) энергии пиона E_π , угла θ_π и угла размещения черенковского спектрометра θ_C , также учитывалась эффективность регистрации π^0 -мезонов использованным спектрометром. Расчеты сечения реакции (1) проведены в рамках ядерной модели оболочек с промежуточной связью 1,3 . В расчетах использовано два варианта однонуклонных амплитуд fotoрождения пионов, полученных в мультипольных анализах 11,12 . Каждый из этих наборов амплитуд хорошо описывает совокупность экспериментальных данных по $\gamma N \rightarrow \pi N$ реакциям, тогда как величины сечения реакции (1), рассчитанные с амплитудами из 12 в $(8 \div 11)$ раз превышают сечения, вычисленные с амплитудами из работы 11 . Такой результат обусловлен существенным различием в анализах 12,11 величин изоскалярного мультиполя $E_{0+}^{(0)}$, который из-за особенностей ядерного перехода ${}^6\text{Li} \rightarrow {}^6\text{Li}^*$ (3,56 МэВ) дает определяющий вклад в сечение реакции (1). Измеренный выход реакции (1) для $\theta_\pi = 40^\circ$ усреднений в диапазоне $\theta_\pi = 15 \div 55^\circ$ равен $Y_3 = (1,4 \pm 0,3) \cdot 10^{-31} \text{ см}^2/\text{ср} \cdot \text{эк.кв.}$ Теоретические выходы, рассчитанные с однонуклонными амплитудами из работы 11 – Y_{T1} и работы 12 – Y_{T2} равны: $Y_{T1} = 1,8 \cdot 10^{-33} \text{ см}^2/\text{ср} \cdot \text{эк.кв.}$, $Y_{T2} = 1,6 \cdot 10^{-32} \text{ см}^2/\text{ср} \cdot \text{эк.кв.}$ Таким образом, уменьшение величин изоскалярных мультиполей, полученное в анализе 11 в основном за счет вклада от обмена векторными мезонами, приводят к значительному рассогласованию расчетов с экспериментом. По оценкам согласие с экспериментом, по-видимому, не удастся получить, если в расчетах использовать другие волновые функции ядра или учитывать взаимодействие пионов в конечном состоянии. Заметное увеличение (~ 10 раз) сечения реакции (1) можно получить, принимая изотизорный вклад E_{0+}^T в однонуклонную амплитуду больше, чем изоскалярный E_{0+}^0 13 (например, $E_{0+}^T = 6E_{0+}^0$). Для реакции $\gamma + {}^{12}\text{C} \rightarrow \pi^0 + {}^{12}\text{C}^*(2^+; 0)$ дифференциальный выход $Y_3 = (4 \pm 0,3) \cdot 10^{-30} \text{ см}^2/\text{ср} \cdot \text{эк.кв.}$.

В заключение отметим, что наблюдаемый в измеренных спектрах широкий пик для $E_\gamma = 15 \div 25$ МэВ свидетельствует о заметной доли fotoобразования нейтральных пионов с возбуждением ядра в области гигантского резонанса.

Литература

1. Tryasuchev V.A. et al. Acta Phys. Polonica B, 1981, 12, 207.
2. Takaki T. et al. Nucl. Phys. A, 1985, 443, 570.
3. Трясучев В.А. ЯФ, 49, 1056.
4. Koch J., Moniz E. Phys. Rev. C, 1983, 27, 751.
5. Arends J. et al. Nucl. Phys. A, 1986, 454, 579.
6. Ананикян А.К. и др. ЯФ, 1987, 46, 401.
7. Arends J. et al. Zeit. für Phys. A, 1983, 311, 367.
8. Белоусов А.С. и др. Труды ФИАН СССР, 1988, 186, 143.
9. Кашеваров В.Л., Сокол Г.А. Труды ФИАН СССР, 1988, 186, 157.
10. Белоусов А.С. и др. Труды ФИАН СССР, 1971, 54, 78.
11. Лебедев А.И., Мангазиев Б.В. Труды ФИАН СССР, 1988, 186, 77.
12. Moorhouse R. et al. Phys. Rev. D, 1974, 9, 1. .
13. Weaver D. Preprint LNF-69/69, Frascati, 1969.

Научно-исследовательский институт ядерной физики
Томского политехнического института

Поступила в редакцию
17 июля 1989 г.